

Polyakov-loop extended Nambu—Jona-Lasinio **模型を用いた**
双対クォーク凝縮の研究

柏 浩司

河野宏明^A, 八尋正信

九大理, 佐賀大理工^A

K. K., H. Kouno, M. Yahiro, arXiv/hep-ph:0908.1213.

Goal

Pure gauge theory における閉じ込め・非閉じ込め相転移の秩序変数はPolyakov-loop.

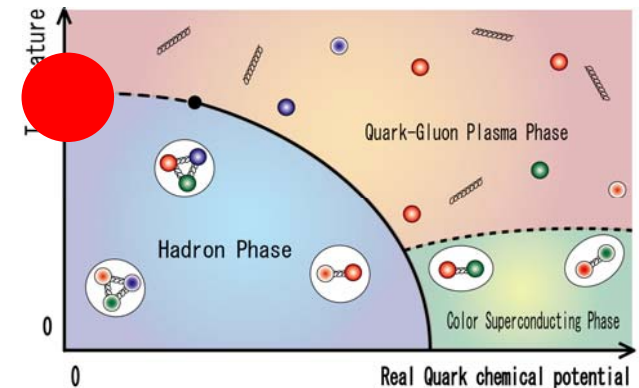
疑問

現実の (quarkと結合した) QCDにおける非閉じ込め相転移を特徴付ける秩序変数は？

近似的 (Z_3 対称性の自発的破れ) 秩序変数としては、
Polyakov-loop。



他の秩序変数ではどうなる？



目的

カイラル相転移の観点から閉じ込め・非閉じ込め相転移が記述できないだろうか？

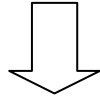
(二つの相転移の臨界温度は近い(もしくは一致した)場所に存在。
そこでカイラル相転移と非閉じ込め相転移の相関を調べたい。)



双対クォーク凝縮

Tool

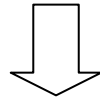
カイラル相転移と非閉じ込め相転移の相関を調べる。



Polyakov-loopと同じようにpure gaugeで Z_3 対称性の破れを記述する秩序変数を **カイラル凝縮を用いて表現** してやればよい。

どうするか？

クォークの虚時間軸方向の境界条件に注目する。



(Euclid空間で)

双対クォーク凝縮

Reference: ←

E. Bilgici, F. Bruckmann, C. Gattringer and C. Hagen, Phys. Rev. D77 (2008) 094007.

E. Bilgici, F. Bruckmann, J. Danzer, C. Gattringer, C. Hagen, E. M. Ilgenfritz, and A. Maas, arXiv:0906.3957.

C. S. Fischer and J. A. Mueller, arXiv:hep-ph/0908.007.

J. Braun, L. M. Haas, F. Marhauser, J. M. Pawłowski, arXiv:hep-ph/0908.008.

Formalism

Temporal boundary angle の導入

$$q(x, \beta) = e^{-i\varphi} q(x, 0)$$

Lattice QCDでの (形式的な) 定式化

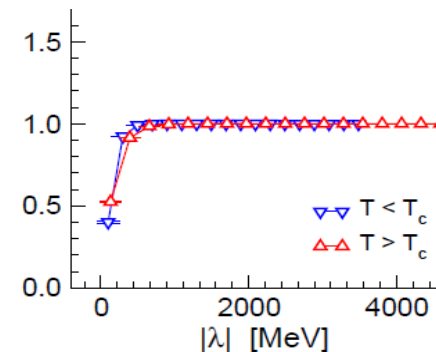
$$\sigma = -\int \frac{d^4x}{V} \langle \bar{q}(x)q(x) \rangle = \frac{1}{V} \langle \text{Tr}[(m + D_\varphi)^{-1}] \rangle_G$$

$$\text{Tr}[(m + D_\varphi)^{-1}] = \frac{1}{m} \sum_{k=0}^{\infty} \frac{(-1)^k}{m^k} \text{Tr}[(D_\varphi)^k] \longrightarrow \frac{1}{m} \sum_{l \in L} \frac{s(l) e^{i\varphi q(l)}}{(2am)^{|l|}} \text{Tr}_c \prod_{(x, \mu) \in L} U_\mu(x)$$

双対クォーク凝縮

$$\Rightarrow \Sigma^{(n)}(m, V) = \int_0^{2\pi} \frac{d\varphi}{2\pi} \frac{e^{-i\varphi n}}{V} \langle \text{Tr}[(m + D_\varphi)^{-1}] \rangle_G$$

実際のLattice計算ではこの展開はせず、固有値を集めて計算。



Formalism

有効モデルでは？ ← 同様に定義可能。

Matsubara frequency with temporal boundary angle

$$\omega_n = 2\pi T \left(n + \frac{\varphi}{2\pi} \right) = 2\pi T \left(n + \frac{1}{2} \right) - \pi T + T\varphi$$

Dual quark condensate

巻き数1

$$\Sigma^{(n)} = - \int_0^{2\pi} \frac{d\varphi}{2\pi} e^{-i\varphi n} \langle \bar{q}q \rangle$$
$$\Sigma^{(1)} = - \int_0^{2\pi} \frac{d\varphi}{2\pi} e^{-i\varphi} \langle \bar{q}q \rangle$$

Formalism

Polyakov-loop extended Nambu—Jona-Lasinio model

(K. Fukushima, Phys. Lett. B 591 (2004) 277)

with vector-type four-quark and scalar-type eight-quark interaction.

$$\begin{aligned} \mathcal{L} = & \bar{q}(i\gamma^\mu D_\mu - m_0)q + G_s \left((\bar{q}q)^2 + (\bar{q}i\gamma_5 \vec{\tau} q)^2 \right) \\ & + G_v (\bar{q}\gamma_\mu q)^2 + G_{s8} \left((\bar{q}q)^2 + (\bar{q}i\gamma_5 \vec{\tau} q)^2 \right)^2 - U(\bar{\Phi}, \Phi) \end{aligned}$$

K.K., H. Kouno, M. Matsuzaki, and M. Yahiro, Phys. Lett. B 662, 26 (2008).

Thermodynamical potential with boundary angle

$$\begin{aligned} \frac{\Omega}{V} = & U + U_M - 2N_f \int \frac{d^3 p}{(2\pi)^3} \left[N_c E(p) + T \ln \left(1 + (\Phi + \bar{\Phi} e^{-\beta E^-}) e^{-\beta E^-} + e^{-3\beta E^-} \right) \right. \\ & \left. + T \ln \left(1 + (\Phi + \bar{\Phi} e^{-\beta E^+}) e^{-\beta E^+} + e^{-3\beta E^+} \right) \right] \end{aligned}$$

$$E^\pm = E - i\pi \pm iT\varphi, \quad E = \sqrt{p^2 + M^2}, \quad M = m_0 + 2G_s \sigma + 4G_{s8} \sigma^3$$

$$U_M = G_s \sigma^2 - G_v \omega^2 + 3G_{s8} \sigma^4$$

Formalism

Polyakov-loop potential

$$\text{RTW05: } \frac{U(\Phi, \bar{\Phi}; T)}{T^4} = -\frac{b_2(T)}{2} \bar{\Phi} \Phi - \frac{b_3}{6} (\Phi^3 + \bar{\Phi}^3) + \frac{b_4}{4} (\bar{\Phi} \Phi)^2$$
$$b_2(T) = a_0 + a_1 \left(\frac{T_0}{T} \right) + a_2 \left(\frac{T_0}{T} \right)^2 + a_3 \left(\frac{T_0}{T} \right)^3$$

C. Ratti, M. A. Thaler and W. Weise, Phys. Rev. D **73**, 014019 (2006).

$$\text{RRW06: } \frac{U(\Phi, \bar{\Phi}; T)}{T^4} = -\frac{1}{2} a(T) \bar{\Phi} \Phi$$
$$+ b(T) \ln \left[1 - 6\Phi \bar{\Phi} + 4(\Phi^3 + \bar{\Phi}^3) - 3(\Phi \bar{\Phi})^2 \right]$$
$$a(T) = a_0 + a_1 \left(\frac{T_0}{T} \right) + a_2 \left(\frac{T_0}{T} \right)^2$$
$$b(T) = a_3 \left(\frac{T_0}{T} \right)^3$$

S. Roßner, C. Ratti and W. Weise. Phys. Rev. D **75**, 034007 (2007).

T_0 は $T_c = 173 \pm 8$ [MeV] になるように調整。

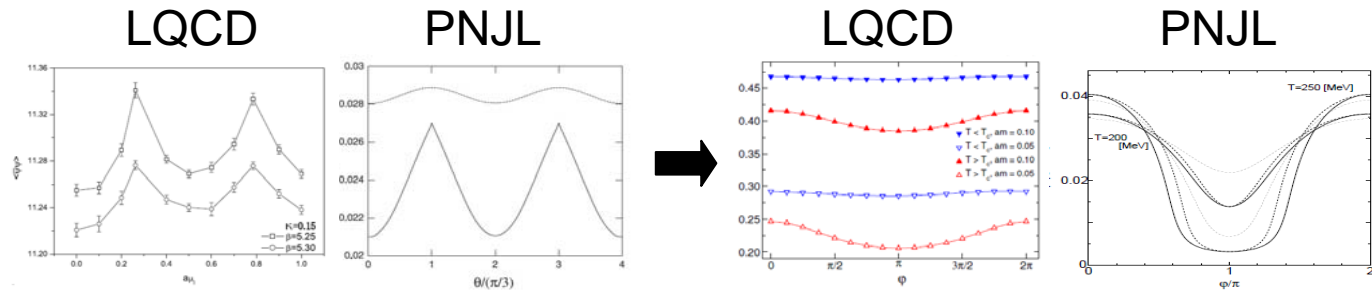
Numerical technique

Quench近似の結果はとばして、Fullの結果のみ。

その際、Boundary angleに対してRW周期性が存在してはいけない(結果が必ず0になる)。

そこで、以下の方法でRW周期性を明示的に破る(本質的にはBilgici等の方法と同じ)

計算手法

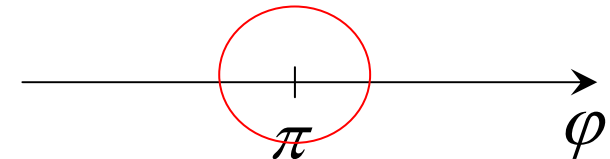


反周期境界条件(通常のフェルミオン)でPolyakov-loopとその共役の値を計算する。



他の境界条件の計算の際は、その値を変えない。

ただし、フェルミオン関係の量は解きなおす。

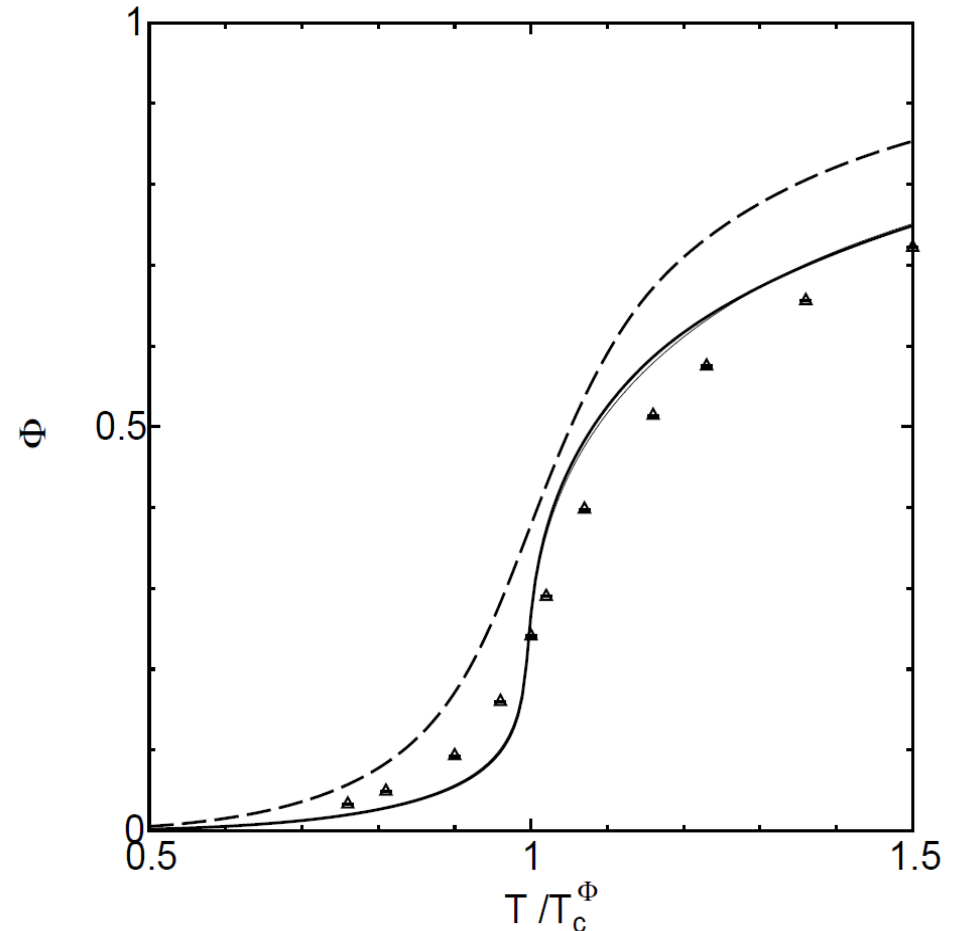
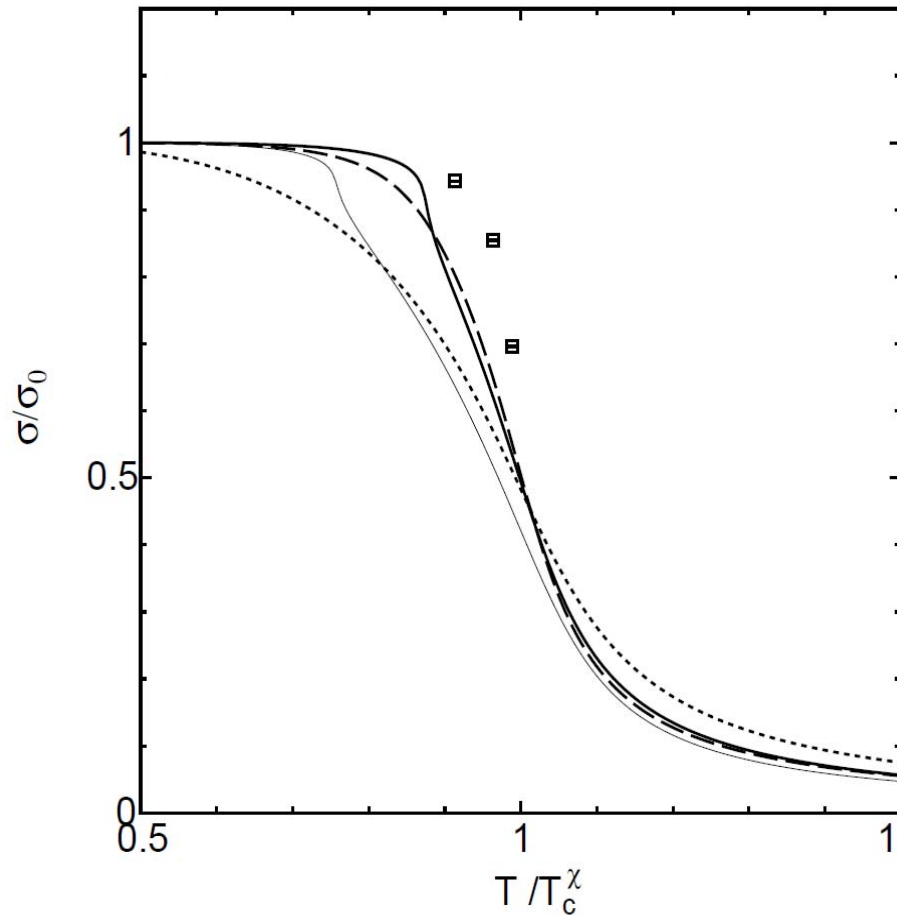


RW周期性は消え、明らかな 2π 周期性だけになる。

Numerical Result 1

Chiral condensate, Polyakov-loop

- NJL model
- - - - PNJL model with RTW05
- PNJL model with RTW06
- PNJL+ σ^4 model with RTW06



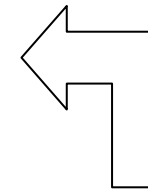
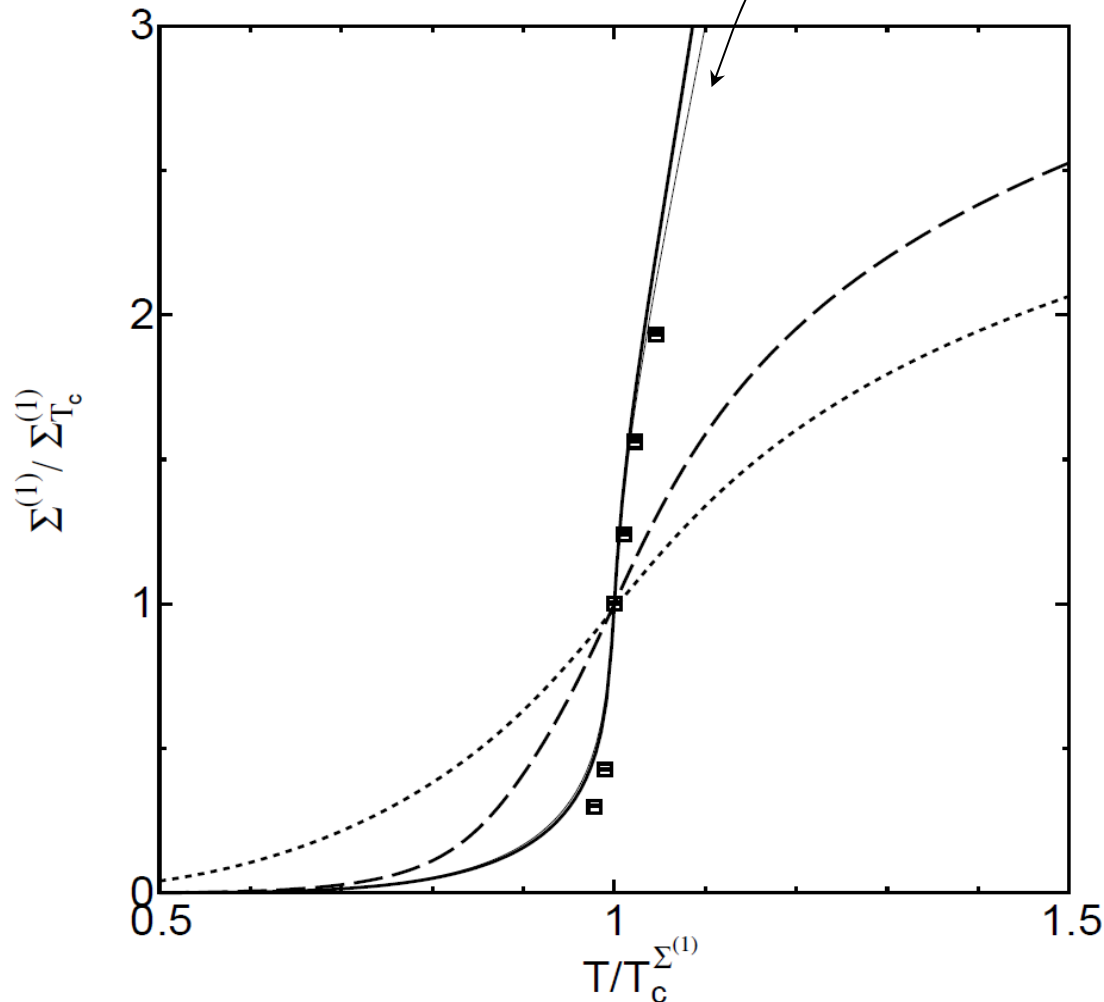
Lattice data:

G. Boyd, S. Gupta, F. Karsch, E. Laermann, B. Petersson, and K. Redlich, Phys. Lett. B **349**, 170 (1995).
 O. Kaczmarek, and F. Zantow, Phys. Rev. D **71**, 114510 (2005).

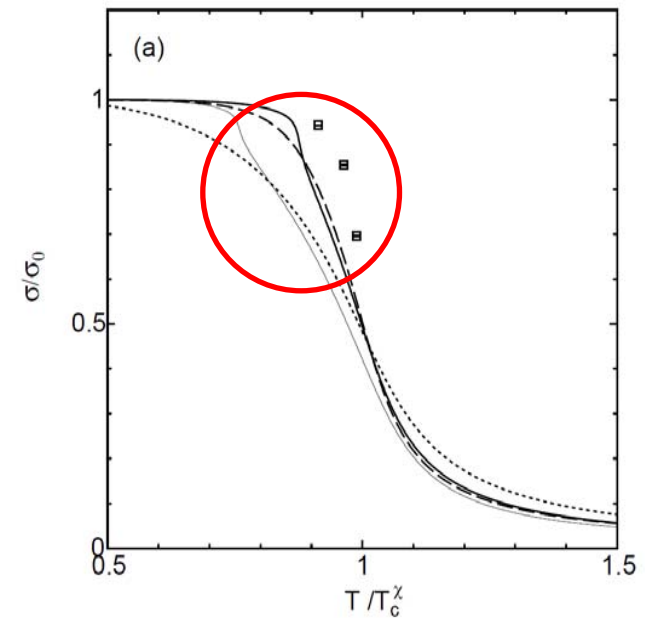
Numerical Result 2

双対クォーク凝縮 ($n=1$)

- NJL model
- - - PNJL model with RTW05
- PNJL model with RTW06
- PNJL+ σ^4 model with RTW06



急激な変化が必要。

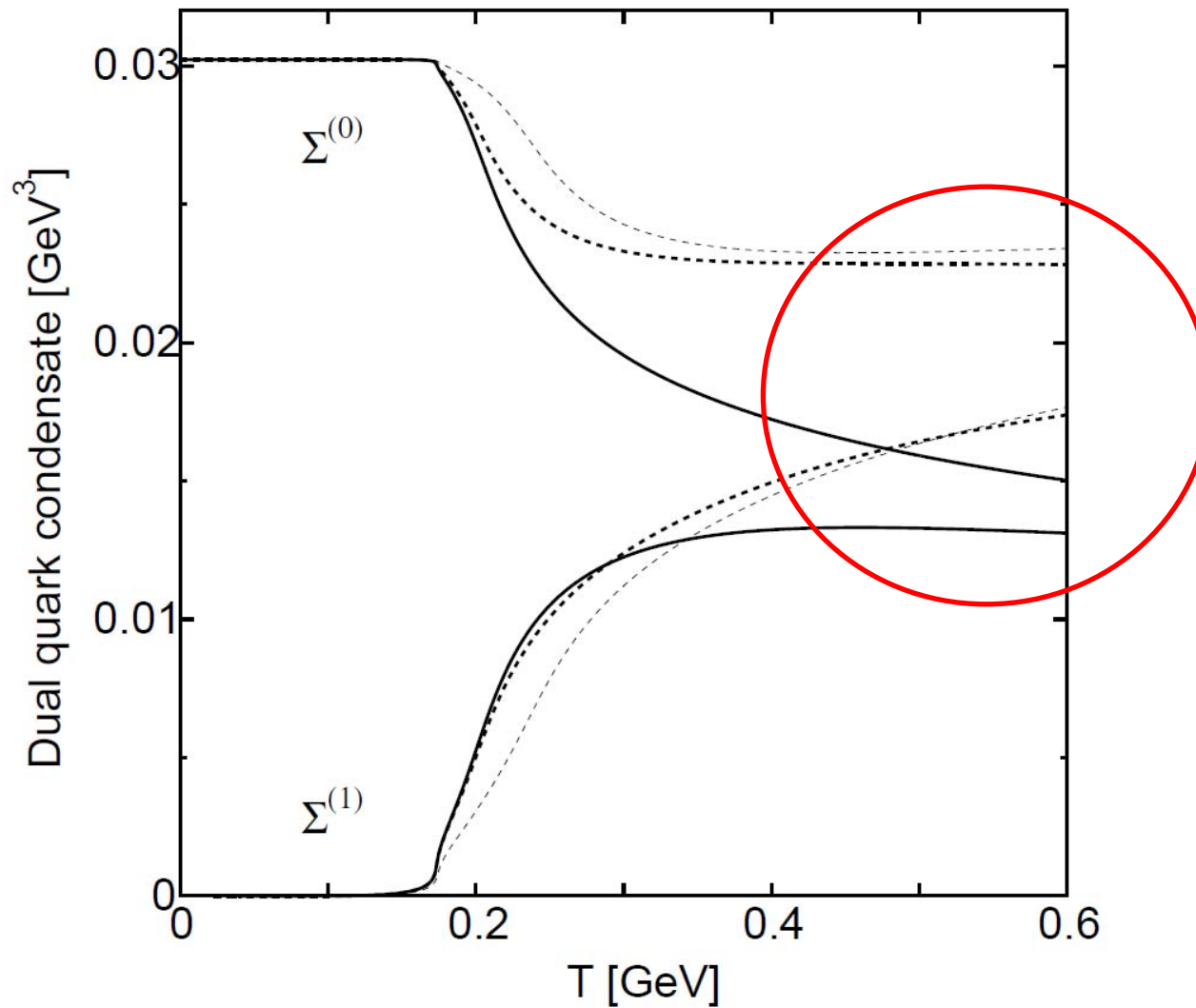


Lattice data: E. Bilgici, F. Bruckmann, J. Danzer, C. Gattringer, C. Hagen, E. M. Ilgenfritz, and A. Maas, arXiv:0906.3957.

Numerical Result 3

双対クォーク凝縮 ($n=0, 1$)

- PNJL model with RTW06
- PNJL+ σ^4 model with RTW06
- PNJL+ $\sigma^4+\omega^2$ model with RTW06



Summary

PNJL模型を用いて**双対クォーク凝縮**の計算を行った。

Polyakov-loopが含まれていない模型でもDual quark condensateは計算は可能だがLatticeの結果とは異なる結果を与える。



カイラル凝縮の(非閉じ込め)擬臨界温度近傍での**急激なカイラル凝縮の変化が必要**。

PNJL模型を用いることで**Latticeの結果を非常によく再現**することができる。

通常、ゼロ実化学ポテンシャルでは現れない**ベクター型相互作用の効果**が現れる。
(特に高温領域で)

カイラル凝縮に比べて双対クォーク凝縮には**8点相互作用はあまり効かない**。